

استفاده از نانوفناوری در طیف‌سنجی رامان برای شناسایی جیوه

لالة عدل نسب*

گروه شیمی، پژوهشکده شیمی و پتروشیمی، پژوهشگاه استاندارد، کرج، ایران

چکیده

نگرانی‌ها در مورد قرار گرفتن در معرض جیوه باعث ایجاد روش‌های مناسب مقرون به صرفه، سریع و قابل اعتماد برای اندازه‌گیری جیوه در محیط شده است. امروزه بحث‌های زیادی روی حضور نانوتکنولوژی و عملکرد موثر آن‌ها در پیشرفت علوم مختلف و کاربرد آن‌ها در هر گوشه‌ای از علم می‌شود. اخیراً، نانوتکنولوژی انقلابی در تکنیک پراکندگی رامان ارتقاء یافته سطحی برای اندازه‌گیری جیوه در غلظت‌های بسیار کم ایجاد کرده است. این روش رامان یک تکنیک طیف‌سنجی است که ترکیبی از طیف‌سنجی لیزر مدرن با خواص نوری از ساختارهای فلزی نجیب در اندازه نانو می‌باشد که باعث افزایش قابل ملاحظه‌ای در سیگنال رامان می‌شود. هنگامی که جیوه در تماس نزدیک با نانو ساختارهای فلزی است، اثرات پراکندگی رامان ارتقاء یافته سطحی، اطلاعات ساختاری منحصر به فرد همراه با حد تشخیص بسیار حساس فراهم می‌کند. این مقاله، اصول و روش‌های معاصر تشخیص جیوه مبتنی بر روش مذکور و انواعی از این روش را معرفی می‌کند. علاوه بر این، چشم‌انداز و چالش‌ها به طور خلاصه بحث شده است.

واژه‌های کلیدی: پراکندگی رامان ارتقاء یافته سطحی، تشخیص، جیوه، نانوذرات.

ایمیل نویسنده مسئول : laleh_adlnasab@yahoo.com; laleh_adlnasab@standard.ac.ir

۱- مقدمه

پلasmای جفت شده القایی-جرمی^۴ و روش تست الیزا^۵. بسیاری از این سیستم‌های تشخیص، به علت گران بودن تجهیزات آزمایشگاهی، نیازمند به آماده‌سازی بسیار دقیق نمونه و زمان چرخش طولانی هستند. بنابراین، نیاز فوری به توسعه روش‌های ساده و قابل اعتماد برای تعیین سریع و حساس جیوه در موقعیت احساس می‌شود. یکی از روش‌هایی کارآمد برای مطالعه غلظت‌های پایین و حتی تکمولکوئی، روش پراکندگی رامان ارتقاء یافته سطحی^۶ (SERS) است که در این روش از نانوذرات فلزی برای ارتقاء سیگنال رامان استفاده می‌شود. در این روش سطح مسطح و صاف برای ارتقاء فعال نیست. این نوع پراکندگی رامان، یک روش حساس و انتخابی با قدرت تفکیک طیفی مناسب است که در آن پراکندگی رامان برای مولکولهایی که بر روی نانوذرات فلزی جذب سطحی شده‌اند، افزایش می‌یابد. این نوع پراکندگی رامان را می‌توان برای مولکولهای هدف بدون نیاز به نشانه‌گذاری و آماده‌سازی نمونه از قبیل، به کار برد که این باعث می‌شود بتوان در هر بافتی نمونه را بدون تغییر، به خوبی تجزیه و تحلیل کرد^[۲]. با این حال، وظیفه تشخیص مستقیم پراکندگی رامان ارتقاء یافته

فصلنامه علمی پژوهی اندیشه‌ی نانو فناوری ایران

^۴ Inductively Coupled Plasma-Mass Spectrometry (ICP-MS)

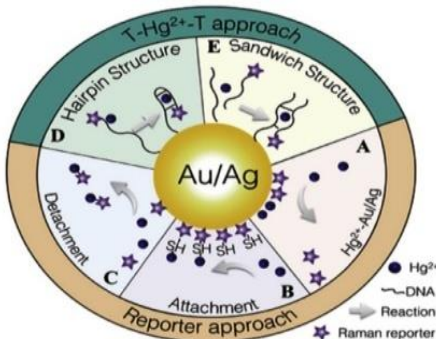
^۵ Enzyme Linked Immune Sorbent Assay (ELISA)

^۶ Surface-Enhanced Raman Scattering

^۱ Environmental Protection Agency (EPA)

^۲ Atomic Fluorescence Spectrometry (AFS)

^۳ Cold Vapor Atomic Absorption Spectroscopy (CVAAS)



شکل ۱- اصول و روش تشخیص جیوه با استفاده از پراکندگی رامان ارتقاء یافته سطحی [۴]

۱-۲- اتصال جیوه- طلا/نقره

mekanisim اتصال جیوه- طلا/نقره می‌دانند که ریپورتر رامان ابتدا به لایه طلا/نقره جذب شده، و پس از آن جای خود را به جیوه می‌دهد (شکل ۱-۱). کلوئید سیترات کاهش یافته نانوذرات کلوئیدی طلا القاء یافته با سیترات، به عنوان یک ماهیت برای اسکن سریع و جداسازی جیوه از محلول‌های آبی چند جزئی استفاده می‌شود [۴]. تجزیه و تحلیل SERS از جیوه با استفاده از رودامین ب^۱ به عنوان یک ریپورتر انجام شده است. در این کار، یک سیگنال SERS اولیه برای رودامین ب که در نانوذرات طلا از طریق برهمنکش الکترواستاتیک جذب شده بود، ثبت شده است. حضور جیوه باعث دفع رودامین ب از سطوح طلا شده و در نتیجه یک سیگنال SERS کاهش یافته ایجاد شده است (شکل ۱-۲).

Senapati^۳ و همکاران در سال ۲۰۱۱ [۵] با مطالعه بیشتر بر این باور بودند که سیگنال‌های SERS کاهش یافته ممکن است به دلیل شکل‌گیری آلیاژ جیوه- طلا باشد. (شکل ۱-۲). Ren^۴ و همکاران (۲۰۱۲) [۶] نیز نشان دادند که جیوه با تشکیل کمپلکس‌هایی با سیترات به آسانی می‌تواند با نانوذرات نقره القاء یافته با سیترات، واکنش داده و سپس به علت کاهش جیوه آلیاژ شود. بر این اساس، جیوه با حد تشخیص ۱۸/۲ نانوگرم بر لیتر شناسایی شده است (شکل ۱-۲).

تجزیه مقادیر بسیار کم جیوه با توجه به مشکل بودن کنترل درجه تجمع نانوذرات ممکن است مانع استفاده نانوذرات طلا یا نقره شود. برای حل این مشکل، نانوآرایه‌های اکسید روی-نقره برای تشخیص جیوه سنتر شده است [۷]. بستر مبتنی بر نانوآرایه با فعالیت فوتکاتالیستی می‌تواند برای تشخیص SERS و حذف جیوه استفاده شود. بستر را می‌توان بازسازی کرد و مورد استفاده مجدد با انحراف استاندارد نسبی کمتر از ۴ درصد قرارداد.

اخیراً دانشمندان دریافتند که اثرات متقابل الکترواستاتیک بین جیوه و نانوذرات نقره می‌تواند یک کاتالیزور برای واکنش کاهشی بین O-فنیلن دی‌آمین^۵ و اکسیژن محلول به شکل ۲-۳-دی‌آمین

سطح مقطع کوچک پراکندگی آنها است.

اندازه‌گیری جیوه توسط پراکندگی رامان ارتقاء یافته سطحی برای اولین بار در سال ۲۰۰۸ گزارش شده است، در حالیکه حدود ۳۵ سال از زمان کشف اثر پراکندگی رامان ارتقاء یافته سطحی می-گذرد [۳]. بهتازگی، تعداد نشریات و استنادهای این نوع پراکندگی رامان در تشخیص جیوه بهطور قابل توجهی افزایش یافته است. چند روش کار با نمونه در SERS مورد استفاده قرار گرفته است. در یک روش ذرات کلوئیدی فلزی مثل نقره یا طلا در یک محلول رقیق (معمولًا محلول آبی) از نمونه معلق می‌شوند، سپس محلولی در حالی که با یک باریکه لیزر بر انگیخته می‌شود در داخل یک لوله شیشه ای باریک نگهداری شده یا جریان می‌یابد. در روش دیگر یک فیلم نازک از ذرات کلوئیدی فلزی روی یک برش نازک شیشه‌ای ترسیب شده و یک یا دو قطره از محلول نمونه روی این فیلم لکه گذاری می‌شود. سپس طیف رامان به طریق معمول به دست می‌آید. در روش سوم می‌توان نمونه را روی یک سطح فلزی ناهموار رسوب داد و سپس از محلول خارج کرده و در معرض منبع برانگیختگی لیزری قرار داد.

امروزه به جای استفاده از نانوذرات لخت طلا/نقره به عنوان سویسترا در پراکندگی رامان ارتقاء یافته سطحی، روش‌های متعددی برای تشخیص جیوه از پراکندگی رامان بر اساس "روش ریپورتر"^۱ و "روش T-Hg²⁺-T"^۲ گزارش شده است (شکل ۱). روش اول شناخته شده رامان (روش ریپورتر)، بر اساس تعامل بین جیوه و سیگنال رامان است (مولکولهای فعال در رامان). روش T-Hg²⁺ بر شیمی کوردینانسی تیمیدین-جیوه-تیمیدین متک است. تحقیقات اخیر راه را برای توسعه آینده حسگرهای جیوه هموار می‌کند. این مقاله، کاربردهای اخیر پراکندگی رامان ارتقاء یافته سطحی را در تجزیه و تحلیل جیوه با استفاده از نانوذرات بررسی می‌کند.

۲- روش ریپورتر

در این روش جیوه را می‌توان با "روشن"^۳ و یا "خاموش کردن"^۴ سیگنال SERS تشخیص داد. بهطور کلی، مولکولهایی که طیف SERS قوی و خاص نشان می‌دهند، به عنوان ریپورتر رامان مناسب هستند. مولکولهای ریپورتر رامان می‌توانند بر روی بستر SERS از طریق شیمیایی یا فیزیکی جذب شود. شناسایی جیوه به وسیله ریپورتر به سه مکانیزم بستگی دارد: اتصال طلا/نقره، پیوستن ریپورتر و جدا شدن ریپورتر (شکل ۱). مولکول‌های مختلفی از جمله رودامین ب، دیفنیل‌تیوکربازون، تریپتوфан، ۴-مرکاپتوپریدین، بیسموتیول، پارآمینوتیوفنل، متیمازول، L-سیستئین بر روی بسترهای طلا و یا نقره در مقالات مختلف گزارش شده‌اند.

² Rhodamine B (RB)

³ Senapati

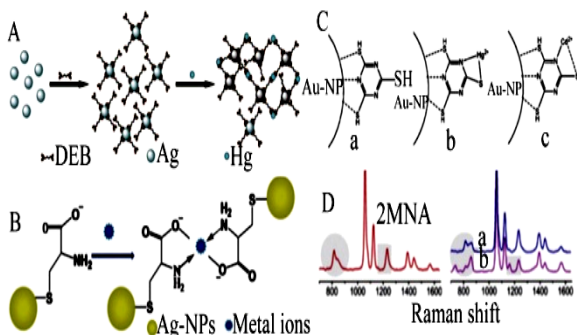
⁴ Ren

⁵ O-Phenylenediamine (OPD)

^۱Reporter Approach

بزرگی دارد. برای مثال نانو ذرات اصلاح شده طلا با تری-مرکاپتوتیریازین برای تشخیص جیوه و کادمیم کاربرد دارند (شکل C-۳) [۳]. به طور مشابه، جیوه و سرب را می‌توان با استفاده از نانوذرات طلای اصلاح شده با ۲-مرکاپتوایزوئینوکوتینیک اسید^۳ شناسایی کرد (شکل D-۳) [۱۱].

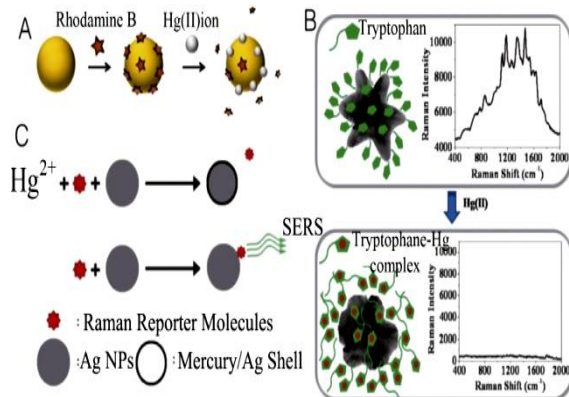
نانوذرات نقره عاملدار شده با سیستئین و ۵-و۵-دی متوكسی-۶-آزوینزوتری آزویل (Fvولکان برای تشخیص مس و جیوه بر اساس SERS استفاده شده است (شکل B-۳) [۱۲، ۱۳]. به طور خاص، متیل جیوه سمی تر (CH_3Hg^+) با موفقیت با روش SERS مورد اندازه‌گیری قرار گرفت. به عنوان مثال یک بستر بسیار فعال SERS با یک لایه از ۴-مرکاپتوپیریدین^۴ بازآرایی شده است [۱۴]. تفاوت قابل توجهی میان پروفیلهای طیفی MY کنوردینه شده با جیوه یا CH_3Hg^+ به عنوان یک ابزار تجزیه و تحلیل جیوه‌ای مؤثر وجود دارد.



شکل ۳- (A) دیاگرام شماتیک از روش پراکنده افزایش سطح رامان مستقیم برای اندازه‌گیری جیوه با استفاده از DEB نانوذرات نقره [۹] (B) تشکیل ترکیبات کوئوردیناسیون بین L-لیستئین (جذب به نانوذرات نقره) و یون‌های فلزی [۱۳] (C) حالت اتصال در نانوذرات طلا برای (a) تری مرکاپتوتیریزین^۵ (ب) جیوه (c) کادمیوم [۳] (D) شناسایی و اندازه‌گیری یون‌های فلزات سنگین متعدد با استفاده از طیف پراکنده افزایش سطح رامان ۲-مرکاپتوایزوئینوکوتینیک اسید [۱۱]

۳-۲- جدا شدن ریپورتر
روش جدا شدن ریپورتر بر روند جداسازی نانوذرات پخش شده توسط جیوه متکی است (شکل C-۱). دانشمندان یک روش بدون نشانه‌گذاری برای سنجش جیوه با استفاده از نانوذرات نقره اصلاح شده با ۲-مرکاپتواتان سولفونات^۶ بیان کرده‌اند [۱۵]. پیوند کووالانسی تشکیل شده بین جیوه و گوگرد مانع از جذب MESNA در سطح نقره می‌شود و درنتیجه به کاهش شدت SERS برای MESNA منجر شده است. از طریق نظرات بر "خاموشی" تغییر در پاسخ SERS، جیوه می‌تواند با غلظت بیسموتیول طراحی کرده‌اند. در تحقیق آنها افزودن بیسموتیول به تجمع نانوذرات طلا منجر شده است. به عنوان یک نتیجه، تجمع

فنازین^۷، که دارای یک سیگنال SERS قوی است باشد. تجزیه مقادیر کم با ۰/۲۰ میکروگرم بر لیتر جیوه تحقق یافته است.



شکل ۲- (A) شماتیک مکانیزم سنجش جیوه بر اساس جایگزینی رودامین مولکولهای رنگ از طریق کاهش جیوه در نانوذرات طلا [A] (B) پروتکل تشخیص جیوه آزاد با استفاده از محافظت تریپوفان به شکل طلا [۵] (C) تشخیص مستقیم جیوه با استفاده از نانوذرات نقره به عنوان افزایش سوبسترا [۶]

۲-۲- اتصال ریپورتر

روش اتصال ریپورتر روشنی است که خیلی گسترش پیدا کرده است. مولکولهای ریپورتر فعال در SERS قادر به اتصال به نانوذرات طلا/نقره می‌باشند. جیوه به عنوان یک پل بین ریپورتر و نانوذرات ارتباط برقرار می‌کند، و درنتیجه نقاط داغ بین ذرهای ایجاد می‌شوند (شکل B-۱).

دانشمندان، نانوذرات نقره را با دی‌آلکین ۱۶-دی‌اتینیل بنزن^۸ اصلاح کردن و در واکنش با جیوه به شکل یک اتصال $-\text{C}\equiv\text{C}-\text{Hg}-\text{C}\equiv\text{C}-$ قرار داده‌اند که باعث تجمع نانوذرات نقره شده است (شکل A-۳) [۹]. این واکنش منجر به تولید نقاط داغ متعدد 2146 cm^{-1} در SERS می‌شود که موجب افزایش چشمگیر پاسخ SERS در ۰/۶ آزمایشاتی انجام داده است و از تکنیک AFM میکروسکوپی نیروی اتمی، برای تعیین اندازه ذراتی که مسئول ارتقاء سیگنال رامان بودند، استفاده کرد. این آزمایش نشان داد که همه مولکولها در SERS درگیر نیستند و فقط تعداد کمی از آنها ارتقاء در سیگنال را باعث می‌شوند که به این ذرات نقاط داغ گفته می‌شود. برای افزایش بیشتر حساسیت تشخیص، بسترهای پراکنده رامان ارتقاء یافته سطحی با هندسه مشخص، توسعه یافته‌اند. دانشمندان، نانولوله‌های هسته‌پوسته نقره-طلای پوشش داده شده با دی‌اکسید سیلیسیم را سنتز کرده‌اند [۱۰]. این نانولوله‌های عاملدار شده با گروه آمینو و پیوند شده با باز Schiff مشتقی R6G برای تعیین جیوه در آب زیست محیطی به کار گرفته شده‌اند (شکل B-۳).

به منظور پاسخگویی به نیازهای عملی، یک روش که بتواند برای شناسایی یون‌های فلزی متعدد مورد استفاده قرار بگیرد مزیت

^۳ 2-Mercaptoisonicotinic acid (2MNA)

^۴ 4-Mercaptopyridine

^۵ Trimercaptotriazine (TMT)

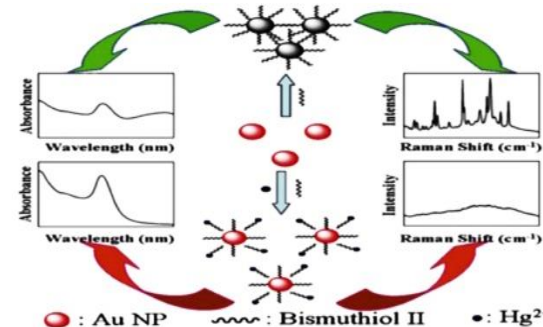
^۶ 2-mercaptopethanesulfonate (MESNA)

^۷ 2,3-Diaminephenazine (DAP)

^۸ Dialkyne 1,4-diethynylbenzene (DEB)

آپتامر اصلاح کردند (شکل D-۱) [۸]. افزایش جیوه باعث شکل‌گیری متعاقب کمپلکس‌های Hg^{2+} -T شده، که منجر به ساختار پیچ خورده از آپتامر می‌شود. درنتیجه، تجمع نانوذرات SERS نقره اتفاق افراطی و افزایش قابل توجهی در شدت سیگنال را سبب می‌شود (شکل A-۵). این روش ساده تشخیص جیوه در ۱ میکروگرم بر لیتر را با بهبود گرینش‌پذیری ممکن می‌سازد (شکل B-۵) [۲۰]. همچنین نانوذرات پوسته-هسته طلانقره نشان‌دار شده با Cy3 سنتز شده و به عنوان پروب حساس جیوه در کanal ریزقطرهایی با طراحی ویژه استفاده شده‌اند. حد تشخیص می‌تواند تا حد ۲ نانوگرم بر لیتر پایین آورده شود که سه مرتبه زیر استاندارد آب آشامیدنی آزادی‌ساز حفاظت محیط‌زیست تعريف می‌شود. به همین روش یک حسگر ساخته شده از نانوسمیم طلا روی تراشه ایجاد شده است که می‌تواند با حساسیت خوبی جیوه را با حد تشخیص در ۰/۱ میکروگرم بر لیتر شناسایی کند [۲۱]. به منظور تسهیل در ثبت کاونده DNA در سطح فلزات نجیب، کاونده DNA به طورکلی با تیول در انتهای یکی از رشته‌ها عاملدار شده بود. به عنوان مثال، هان^۲ و همکاران نشانه‌گذاری مضاعف DNA با تیول و تترامتیل رودامین را در انتهای ۵' و ۳' انجام دادند [۲۲]. این آپتامر DNA می‌تواند خود به خود در سطح میکروشل طلا بی‌حرکت و ثابت شود. در حضور جیوه، کاونده DNA به ساختار پیچ تند تا می‌شود و این تغییر ساختاری ریپورتر رامان به نزدیک سطح طلا کشیده می‌شود (شکل C-۵). انتخاب جیوه با حد تشخیص در ۱۰ میکروگرم بر لیتر به دست آمد. نانوسمیم طلا اصلاح شده با DNA مضاعف نشاندار شده (تیول Cy5 عاملدار) نیز برای تشخیص مقدار اندازی از جیوه استفاده شده است. این حسگرهای آماده پس از ۸۰ روز ذخیره می‌شود و فعال باقی مانند [۲۳]. درحالی‌که این حسگرهای SERS گرینش-پذیری بالا دارند، نانوذرات در این حسگرها اغلب در فاز مایع آماده می‌شود و درنتیجه مستعد ابتلا به شیوه‌ای غیر قابل‌کنترل است که منجر به عوارض جانبی به تکرارپذیری SERS می‌گردد. اخیراً، نانوذرات طلا پیوند خورده با سیلیکون نانوسمیم آرایه^۳ به عنوان یک پلت فرم سنجش قابل بازیافت ساخته شد [۲۴]. سیگنال‌های پراکنده افزایش سطح رامان قوی را زمانی می‌توان نمایان ساخت که در حضور جیوه، ساختار DNA مضاعف نشاندار شده به ساختار پیچ تند، تبدیل شود (شکل D-۷). در چنین حسگر پراکنده افزایش سطح رامان ویژگی‌های حساسیت بسیار عالی از غلظت کم ۰/۲۰ نانوگرم بر لیتر مشهود است. غلظت نامشخص جیوه در آب رودخانه می‌تواند از طریق این استراتژی سنجش با مقدار ۶ RSD تعیین شود.

DAG تشکیل شده و سیگنال قوی SERS از بیسموتیول مشاهده شده است (شکل ۴) [۱۶].



شکل ۴- مکانیزم پراکنده افزایش سطح رامان بیسموتیول-نانوذرات طلا به عنوان یک حسگر دو سیگنال برای تشخیص جیوه [۱۶]

سیگنال SERS در حضور جیوه با توجه به میل قوی‌تر بیسموتیول با جیوه نسبت به نانوذرات طلا کاهش می‌ابد. با استفاده از این مکانیزم "خاموش"، بسترهای SERS مانند ۴'-دی‌پیریدیل جفت شده با نانوذرات طلا/نقره [۱۷]، اصلاح آلیاژ طلا-نقره با R-NH₂ [۱۲] نیز توسعه داده شده و تشخیص جیوه در غلظت‌های بسیار کم را امکان‌پذیر ساخته است. روش نزدیک شدن ریپورتر رامان به طور گستردگی برای تجزیه مقادیر بسیار کم جیوه استفاده می‌شود. با این حال، تجمع نانوذرات در محیط کمپلکس اجتناب‌ناپذیر است. علاوه بر این، سیگنال "خاموشی" مولکول ریپورتر برای نرم‌افزار در محل، مناسب نیست. این یک چالش برای توسعه یک بستر عمومی است که می‌تواند برای جداسازی، غنی‌سازی، و تشخیص جیوه در محیط‌زیست مفید باشد.

۳- روش T-Hg^{2+} -T

اساس روش T-Hg^{2+} -T بر پایه DNA، شیمی کنوردینانسی تیمیدین-جیوه-تیمیدین و تشکیل توده نانوذرات می‌باشد. برای آزمایش، نانوذرات طلا یا نقره با دو توالی مختلف DNA-تیولدار شده، عاملدار می‌شوند. زمانی که با هم مخلوط شوند، به دلیل عدم تطابق T-T در دنباله پایگاه خود، نانوذرات DNA نشان‌دار تجمع می‌بندند [۱۹].

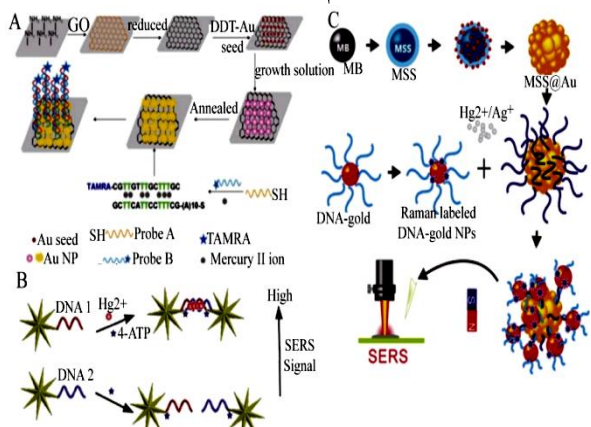
این روش می‌تواند به دو دسته تقسیم شوند: روش مبتنی بر ساختار مارپیچی و روش مبتنی بر ساختار ساندویچی.

۳-۱- روش مبتنی بر ساختار مارپیچی

روش مبتنی بر ساختار مارپیچی شامل دو بخش اصلی است: لایه‌های فلزی نجیب و DNA نشانه‌دار شده به عنوان ریپورتر رامان. در حضور جیوه، کاونده DNA می‌تواند داخل ساختار

مارپیچی T-Hg^{2+} -T واسطه، تا شود. تغییر کنفورماسیونی ریپورتر SERS را به نزدیک یا دور از سطح بستر حرکت می‌کند. بنابراین، جیوه می‌تواند به طور غیرمستقیم با ثبت تغییر سیگنال ریپورتر رامان شناسایی شود. یک گروه تحقیقاتی در سال ۲۰۰۹ نانوذرات نقره را با تترامتیل‌رودامین (TAMRA) عاملدار شده

عاملدار حوزه سیلیس مغناطیسی^۱ نانوذرات طلا پیشنهاد کردند (شکل ۶-C). این سیستم موجب عدم تطابق پل $T - Hg^{2+}$ برای گیرنده جیوه می‌شود و پاسخ بسیار عالی SERS برای جیوه در محدوده غلظت ۲۰ نانوگرم بر لیتر مشاهده می‌گردد.



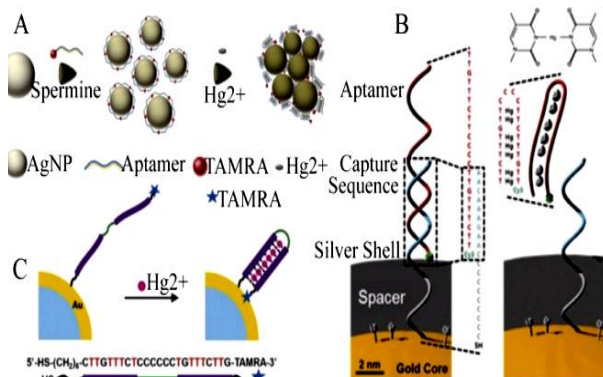
شکل ۶- (A) تصویر شماتیک ساخت نانوذرات طلا / rGO ناهمگون پراکنده افزایش سطح رامان بسته های فعال و یک پروتکل سنجش یون جیوه [۲۵] (B) تشخیص بر اساس خود تجمع GNS دایمر [۲۶] (C) تشخیص جیوه بر اساس T-Hg-T با استفاده از DNA-MSS-نانوذرات طلا و DNA-MSS-

نانوذرات طلا [۲۸]

روش $T - Hg^{2+}$ مزایای قابل توجهی مانند گزینش‌پذیری و حساسیت بالا ارائه می‌دهد. با توجه به الکترومغناطیسی جفت بین نانوذرات، حد تشخیص روش ساختاری ساندویچ می‌تواند به سطح نانوگرم بر لیتر برسد. با این حال، روش $T - Hg^{2+}$ بسته به ساخت DNA بر اساس نانوذرات ابر ساختار پلاسمونیک، نیاز به فرآیند سینتیکی پیچیده است. تکرار پذیری تشخیص SERS نیز به دلیل تجمع نانوذرات در هنگام مونتاژ DNA یک چالش محسوب می‌شود.

۴- نتیجه‌گیری

افزایش قابل توجهی در سیگنال رامان قبل تشخیص همراه با روش منحصر به فرد بر اساس نانوذرات ایجاد شده است که SERS را به یک ابزار قدرتمند برای سنجش جیوه تبدیل می‌کند که حد تشخیص حسگر جیوه را از نانومولار به پیکومولار می‌رساند. با این حال، بهینه‌سازی سیستم سنجش برای برنامه‌های زیست‌محیطی موردنیاز است. بنابراین، حساسیت و تکرار پذیری بسته‌های SERS هنوز نگرانی‌های عمدۀ در تشخیص جیوه هستند. به طور خاص، توسعه حسگر کارآمد برای تشخیص جیوه در مایعات بیولوژیکی پیچیده مانند ادرار، سرم و خون یک چالش بزرگ است. علاوه بر این، تلاش‌هایی باید برای توسعه حسگر SERS برای متیل جیوه مانند CH_3Hg^+ انجام شود که بسیار سمی‌تر از جیوه است. پیشرفت‌های اخیر در سنتز چند منظوره نانوساختار فلزی با اندازه و شکل متناسب مورد انتظار است و همچنین به عنوان توسعه تکنیک‌های جدایی قابل حمل



شکل ۵- (A) دیاگرام شماتیک یک حسگر پراکنده افزایش سطح رامان بر اساس آپتامر نانوذرات نقره برای تشخیص جیوه [۸] (B) انتشار آپتامر از سطح نانوذرات در حضور جیوه تشکیل یک واسطه پایدار پن مو [۲۰] (C) حسگر برای تشخیص جیوه [۲۲]

۲-۳- روش مبتنی بر ساختار ساندویچ

روش مبتنی بر ساختاری ساندویچ شامل سه بخش عمده است: بستر فلز نجیب، DNA تیولدار شده (DNA گیرنده)، نشاندار شده به عنوان ریپورتر رامان (DNA هدف). به طورکلی، DNA گیرنده با بستر SERS در ارتباط است. در حضور جیوه، DNA گیرنده و DNA هدف می‌تواند به شکل یک ساختار ساندویچ با توجه به فعل و اتفاعات $T - Hg^{2+}$ بین جفت باز DNA ایجاد شود (شکل ۶-E). با استفاده از این استراتژی، نانوذرات طلا/rGO اتصال گوناگون برای تشخیص جیوه ساخته شد (شکل ۶-A).

مشخص شده است که افزایش سیگنال در زمینه‌ی الکترومغناطیسی، "نقاط داغ" نامیده می‌شود، معمولاً در شکاف بین دو نانوذرات جفت فلز مجاور با فاصله در حدود چند نانومتر رخ می‌دهد. دانشمندان یک روش مبتنی بر ساختار ساندویچ طلا دایمر نانوستار را به عنوان حسگر SERS برای تشخیص جیوه به کار گرفتند (شکل ۶-B). افزایش قابل ملاحظه زمینه‌ی الکترومغناطیسی ناشی از ساختارهای نانوستارهای تولید می‌شود که موجب تسهیل تشخیص مقدار اندک جیوه با حد تشخیص در ۰/۸ نانوگرم بر لیتر می‌گردد. در کار مشابهی گزارش شده است که $T - Hg^{2+}$ با مونتاژ زنجیرهای نانوذرات طلا می‌تواند برای اندازه‌گیری جیوه با غلظت کم در ۰/۴۶ نانوگرم بر لیتر استفاده شود [۲۷]. به تازگی، یک سیستم حسگر SERS آسان برای تشخیص جیوه با ترکیب نانوستارهای طلا و آرایه نانوسوراخ طلا داخل یک سکوی حساس استفاده شده است [۲۸]. یکی دیگر از پیشرفت‌های روش مبتنی بر ساختار ساندویچ $T - Hg^{2+}$ برای تشخیص جیوه استفاده از بسته‌های مغناطیسی است. لایه مغناطیسی مؤثر می‌تواند جذب مولکول‌های آتالیت از ماتریس‌های زیست‌محیطی شود و می‌تواند به راحتی توسط یک آهنربا جدا و از ماتریس حذف شود. این امر موجب ارائه یک سکوی مناسب برای تشخیص حساس و حذف انتخابی جیوه می‌گردد. برای مثال دانشمندان یک سکوی SERS فعل با الیگونوکلئوتیدی

^۱ Magnetic Silica Sphere (MSS)

راهکارهایی برای غلبه بر محدودیت‌های حاضر و پیشبرد استفاده از روش انتظار می‌رود.

-۵ منابع

- detection of Hg^{2+} in environmental water base on rhodamine-bonded and amino group functionalized SiO_2 -coated Au–Ag core–shell nanorods. *RSC Advances* (5): 32168–32174, 2015.
- [11] E.Z, Tan; P.G, Yin; X.F, Lang; H.Y, Zhang; L, Guo; A novel surface-enhanced Raman scattering nanosensor for detecting multiple heavy metal ions based on 2-mercaptoisonicotinic acid functionalized gold nanoparticles. *Spectrochimica Acta Part A: Molecular and Biomolecular Spectroscopy* (97): 1007–1012, 2012.
- [12] P, Li; H.L, Liu; L.B, Yang; J.H, Liu; Sensitive and selective SERS probe for Hg (II) detection using aminated ring-close structure of rhodamine 6G. *Talanta* (106): 381–387, 2013a.
- [13] F, Li; J, Wang; Y.M, Lai; C, Wu; S.Q, Sun; Y.H, He; Ultrasensitive and selective detection of copper (II) and mercury (II) ions by dye coded silver nanoparticle-based SERS probes. *Biosensors and Bioelectronics* (39): 82–87, 2013b.
- [14] L, Guerrini; I, Rodriguez-Loureiro; M.A, Correa-Duarte; Y.H, Lee; X.Y, Ling, F.J.G, de Abajo; Chemical speciation of heavy metals by surface-enhanced Raman scattering spectroscopy: identification and quantification of inorganic- and methyl-mercury in water. *Nanoscale* (6): 8368–8375, 2014.
- [15] Y, Chen; L.H, Wu; Y.H, Chen; N, Bi; X, Zheng; H.B, Qi; Determination of mercury (II) by surface-enhanced Raman scattering spectroscopy based on thiol functionalized silver nanoparticles. *Microchimica Acta* (177): 341–348, 2012.
- [16] J.L, Duan; M, Yang; Y.C, Lai; J.P, Yuan; J.H, Zhan; A colorimetric and surface-enhanced Raman scattering dual-signal sensor for Hg^{2+} based on Bismuthiol II-capped gold nanoparticles. *Analytica Chimica Acta* (723): 88–93, 2012.
- [17] Y.X, Du; R.Y, Liu; B.H, Liu; S.H, Wang; M.Y, Han; Z.P, Zhang; Surface-enhanced raman scattering chip for femtomolar detection of mercuric ion (II) by ligand exchange. *Analytical Chemistry* (85): 3160–3165, 2013.
- [18] Y.M, Ma; H.L, Liu; K, Qian; L.B, Yang; J.H, Liu; A displacement principle for mercury detection by optical waveguide and surface enhanced Raman spectroscopy. *Journal of Colloid and Interface Science* (386): 451–455, 2012.
- [19] Y, Miyake; H, Togashi; M, Tashiro; H, Yamaguchi; S, Oda; M, Kudo; Mercury (II)-mediated formation of thymine– Hg –thymine base pairs in DNA duplexes.
- [1] M, Du; D.B, Wei; Z.W, Tan; A.W, Lin; Y.G, Du; Predicted no-effect concentrations for mercury species and ecological risk assessment for mercury pollution in aquatic environment. *Journal of Environmental Sciences* (28): 74–80, 2015.
- [2] J.M, Hao; M.J, Han; S.M, Han; X.G, Meng; T.L, Su; Q.W.K, Wang; SERS detection of arsenic in water: a review. *Journal of Environmental Sciences* (36): 152–162, 2015.
- [3] V.M, Zamarion; R.A, Timm; K, Araki; H.E, Toma; Ultrasensitive SERS nanoprobes for hazardous metal ions based on trimercaptotriazine-modified gold nanoparticles. *Inorganic Chemistry* (47): 2934–2936, 2008.
- [4] I, Ojea-Jimenez; X, Lopez; J, Arbiol; V, Puntes; Citrate-coated gold nanoparticles as smart scavengers for mercury (II) removal from polluted waters. *ACS Nano* (6): 2253–2260, 2012.
- [5] T, Senapati; D, Senapati; A.K, Singh; Z, Fan; R, Kanchanapally; P.C, Ray; Highly selective SERS probe for Hg (II) detection using tryptophan-protected popcorn shaped gold nanoparticles. *Chemical Communications* (47): 10326–10328, 2011.
- [6] W, Ren; C.Z, Zhu; E.K, Wang; Enhanced sensitivity of a direct SERS technique for Hg^{2+} detection based on the investigation of the interaction between silver nanoparticles and mercury ions. *Nanoscale* (4): 5902–5909, 2012.
- [7] A.E, Kandjani; Y.M, Sabri; M, Mohammad-Taheri; V, Bansal; S.K, Bhargava; Detect, remove and reuse: a new paradigm in sensing and removal of Hg (II) from wastewater via SERS-active ZnO/Ag nanoarrays. *Environmental Science & Technology* (49): 1578–1584, 2015.
- [8] G.Q, Wang; L.X, Chen; Aptameric SERS sensor for Hg^{2+} analysis using silver nanoparticles. *Chinese Chemical Letters* (20): 1475–1477, 2009.
- [9] Y, Kang, T, Wu, B.X, Liu, X, Wang, Y.P, Du; Selective determination of mercury (II) by self-referenced surface-enhanced Raman scattering using dialkyne-modified silver nanoparticles. *Microchimica Acta* (181): 1333–1339, 2014.
- [10] P.Y, Ma; F.H, Liang; Q.P, Diao; D, Wang; Q.Q, Yang; D.J, Gao; Selective and sensitive SERS sensor for

real water samples in sensitive, specific, recyclable, and reproducible manners. *Analytical Chemistry* (87): 1250–1256, 2015.

[25] X.F. Ding; L.T. Kong; J. Wang; F. Fang; D.D. Li; J.H. Liu; Highly sensitive SERS detection of Hg^{2+} ions in aqueous media using gold nanoparticles/graphene heterojunctions. *ACS Applied Materials & Interfaces* (5): 7072–7078, 2013.

[26] W. Ma; M.Z. Sun; L.G. Xu; L.B. Wang; H. Kuang; C.L. Xu; A SERS active gold nanostar dimer for mercury ion detection. *Chemical Communications* (49): 4989–4991, 2013.

[27] L.G. Xu; H.H. Yin; W. Ma; H. Kuang; L.B. Wang; C.L. Xu; Ultrasensitive SERS detection of mercury based on the assembled gold nanochains. *Biosensors and Bioelectronics* (67): 472–476, 2015.

[28] M. Liu; Z.Y. Wang; S.F. Zong; H. Chen; D. Zhu; L. Wu; SERS detection and removal of mercury (II)/silver (I) using oligonucleotide-functionalized core/shell magnetic silica sphere @ Au nanoparticles. *ACS Applied Materials & Interfaces* (6): 7371–7379, 2014.

Journal of the American Chemical Society (128): 2172–2173, 2006.

[20] E. Chung; R. Gao; J. Ko; N. Choi; D.W. Lim; E.K. Lee; Trace analysis of mercury (II) ions using aptamer modified Au/Ag core–shell nanoparticles and SERS spectroscopy in a microdroplet channel. *Lab on a Chip* (13): 260–266, 2013.

[21] T. Kang; S.M. Yoo; M. Kang; H. Lee; H. Kim; S.Y. Lee; Single step multiplex detection of toxic metal ions by Au nanowires-on-chip sensor using reporter elimination. *Lab on a Chip* (12): 3077–3081, 2012.

[22] D. Han; S.Y. Lim; B.J. Kim; L. Piao; T.D. Chung; Mercury (II) detection by SERS based on a single gold microshell. *Chemical Communications* (46): 5587–5589, 2010.

[23] H. Kim; T. Kang; H. Lee; H. Ryoo; S.M. Yoo; S.Y. Lee; B. Kim; Facile fabrication of multi-targeted and stable biochemical SERS sensors. *Chemistry – An Asian Journal* (8): 3010–3014, 2013.

[24] B. Sun; X.X. Jiang; H.Y. Wang; B. Song; Y. Zhu; H. Wang; Surface-enhancement Raman scattering sensing strategy for discriminating trace mercuric ion (II) from